

東京大学工学部  
日本道路公団

正員 八十島 義之助  
正員 O 向 正

1. まえがき

首都圏の通勤交通が、一方では、中心地区、近郊地区の地価の高騰化、大量輸送機関のスピード化等による通勤圏の拡大化、地方では、運賃、時間で表現される経済的、生理的限界による通勤圏の限定という範疇の中で、どのような動きを示し、どのように変化しているか、また、どのように変化しうるかを知ることは重要なことである。それを知るにより、こんどの通勤交通のあり方、住居地開発のあり方に大きな示唆を示しうる。

通勤交通の流動パターンは、簡単にいえば、通勤吸引地域の大きさ、発生地域の大きさ、両地域間の距離、その他、地域特性、両地域間の特殊なつながり等により決まる。しかし、それらを全て数式で表現するのは難かしく、いままでにも、多数のモデルがつくられてきたが、それのいづれもが、重要かつ、入手しうるデータを用いるものであり、本論文におけるモデルも、吸引地域の規模、発生地域の規模、そして、両地域間の通勤所要時間を用いている。そして、このモデルが、他のモデルと比較して、どれ位精度が高いかを調べるために、他のモデルと比較、検討する。

2 対象地域および、データ

都心を中心にして、通勤所要時間にして、約150分以内の地域を対象とし、市町村および特別区ごとにもう一分けをおこなない、発生ゾーンを1/2、吸引ゾーンを1/2とする不完全O-Dを対象とした。

データは、昭和35年および、昭和40年の国勢調査の結果をもとに、発生交通量については、当該ゾーン以外へ通勤する量、吸引交通量については、当該ゾーン以外から通勤してくる量を用い、所要時間は、大量輸送機関のうち、最短時間のものである。

3 モデルの説明

① 各発生ゾーンから、吸引力の大きなゾーンへ吸引される量は、次のような形をしていることが知られている。

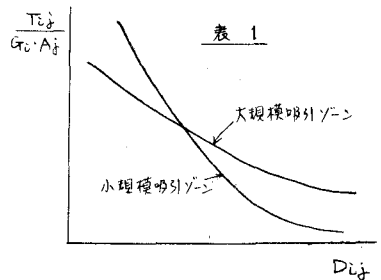
$$T_{ij} = G_i \cdot A_j \cdot 10^{\alpha + \beta D_{ij}} \dots\dots\dots (1)$$

但し  $T_{ij}$  ゾーンiとj間の分布交通量  
 $G_i$  ゾーンiの発生交通量  
 $A_j$  ゾーンjの吸引交通量  
 $\alpha, \beta$  パラメーター

しかし、吸引ゾーンの規模の違いにより、(1)式の $\alpha, \beta$ が異なることと、同一の吸引ゾーンへ吸引される量についても、必ずしも、(1)式にはおらず、むしろ所要時間帯を3段階に分けた方が、現状をよく説明する。これは、次のようなことが理由としてあげられる。

(イ) ゾーンの経済的規模が大きくなるにつれて、通勤交通に及ぼす影響範囲が広くなること。----- 表I参照

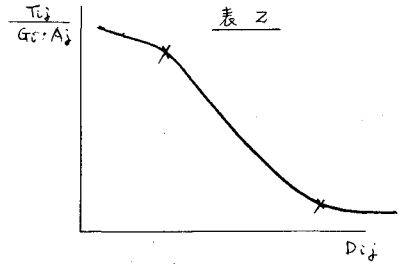
(ロ) 住居の選定は、通勤所要時間のみではなく、地価に象徴される住居資金により、制約されること。----- 表II参照



以上の理由につき、(1)式は、次のように変えられる。

$$T_{ij} = G_i \cdot A_j \cdot 10^{\alpha D_{ij} + \beta D_{ij}^2} \quad l=1 \sim 3 \dots \dots (2)$$

(2)式における  $\alpha, \beta$  を、主要通勤の核になるようなゾーンについて、回帰分析により求める。これは、小規模ゾーンについては、必ずしも(2)式にフィットしないこと、現在の首都圏の通勤パターンが、いくつかの核を中心に形成されていることによるものである。



(2) 以上は、通勤交通の吸引ゾーンを中心にみた考え方であるが、それと同時に、発生源を中心を考える必要もある。

つまり、発生源  $i$  より、 $G_i$  発生量が発生するが、そのうち、ゾーン  $j$  へ吸引される量  $T_{ij}$  は、必ずしも、ゾーン  $j$  間の関係だけに依らず、他の吸引ゾーンの位置関係により、おおいに異なる。例えば、交通量  $T_{ij}$  は、ゾーン  $j$  より近い位置に、大規模なゾーン  $m$  があれば、ゾーン  $m$  に影響されて、ゾーン  $m$  がないときと比べると、小さい値を示す。

これは、次のような式で、説明することができる。

$$T_{ij} = G_i \cdot A_j \cdot f(D_{ij}) \cdot g(D_{im}, A_m) \dots \dots (3)$$

(3) そこで、(2)式と(3)式により、分布交通量のモデル式をつくる。

$$T_{ij} = d \cdot G_i \cdot A_j \cdot 10^{\alpha D_{ij}} \left( \sum_k A_k \cdot 10^{\alpha D_{ik} + \beta A_k D_{ik}} \right)^{\gamma} \dots \dots (4)$$

$d, \beta, \gamma \dots \dots 11.3 \times 10^{-9}$

(4)式を用いて、昭和35年の分布交通量のデータをもとに、昭和40年の分布交通量の予測をおこなった。なお、昭和40年の  $G_i \cdot A_j$  は、実現値を用いた。実際の計算では、パラメーターを回帰分析で求めた後、調整ファクターを導入し、その後、フレーター法で収束させた。

4) 検証

通勤交通の、そして、比較的広範囲、かつ、比較的短期間の  $O-D$  の予測には、現在パターン法とフラビティ、モデルが有効であろうとの判断から、この2つの代表的モデルであるフレーター法と、Voorhees Type のフラビティモデルと、本論文で述べるモデルとの比較を、同じデータを用いて予測値を出し、それと実現値との差によっておこなった。ひとつには、相対誤差の頻度分布、もうひとつは、 $\chi^2$  検定によって、おこなった。

その結果を、右図以下に示す。

$$\chi^2 = \sum_i \sum_j \frac{(T_{ij} - \hat{T}_{ij})^2}{T_{ij}} \quad \hat{T}_{ij} \text{ 分布交通量の予測値}$$

|               |        |
|---------------|--------|
| フレーター法        | 19.327 |
| Voorhees Type | 16.403 |
| 本論文のモデル       | 14.415 |

